

STRUCTURE AND PROPERTIES OF NANOSCALE AND MESOSCOPIC MATERIALS

PACS numbers: 61.05.cp, 62.20.Qp, 68.35.Gy, 68.37.Hk, 81.07.Wx, 81.15.Cd

Влияние нанодисперсных ингредиентов на свойства плазменных покрытий

И. В. Смирнов, А. В. Черный, В. И. Копылов

*Национальный технический университет Украины
«Киевский политехнический институт имени Игоря Сикорского»,
просп. Победы, 37,
03056 Киев, Украина*

В работе рассмотрены физико-механические характеристики многофазных плазменных покрытий на основе композиций из смесей, включающих металлокерамические макропорошки NiAl, NiCrBSi, Al₂O₃ и микроставляющие на основе аэросила SiO₂ и алюмоаэросила Al₂O₃·SiO₂. Исследовались физико-механические характеристики самофлюсующихся покрытий на основе системы ПГ-СР2, модифицированных нанодисперсными порошками TiO₂ и Al₂O₃ механохимическим способом, в условиях абразивного изнашивания. Представленные в работе покрытия многофазной структуры, благодаря наличию ультрадисперсных ингредиентов, характеризуются повышенными параметрами трещиностойкости, прочности, упругости, износстойкости. Установлено, что добавлениеnanoоксида TiO₂ к порошку оксида алюминия приводит к повышению прочности сцепления керамических покрытий на 15–20%. Добавление nanoоксида Al₂O₃ к порошку ПГ-СР2 приводит к увеличению микротвёрдости плазменных покрытий на 25–40%, при этом износстойкость повышается в 2,5–3 раза.

Ключевые слова: плазменное покрытие, многофазная композиция, нанодисперсные составляющие, модуль упругости, прочность, разрушение,

Corresponding author: Andrey Vyacheslavovich Chornyi
E-mail: Black803@gmail.com

*National Technical University of Ukraine ‘Igor Sikorsky Kyiv Polytechnic Institute’,
37 Peremohy Ave., UA-03056 Kyiv, Ukraine*

Citation: I. V. Smirnov, A. V. Chornyi, and V. I. Kopylov, Effect of Nanodispersed Ingredients on the Properties of Plasma Coatings, *Metallofiz. Noveishie Tekhnol.*, **42**, No. 6: 797–814 (2020) (in Russian), DOI: [10.15407/mfint.42.06.0797](https://doi.org/10.15407/mfint.42.06.0797).

износостойкость.

В роботі розглянуто фізико-механічні характеристики багатофазних плазмових покріттів на основі композицій із сумішій, що включають металокерамічні макропорошки NiAl, NiCrBSi, Al₂O₃ і мікрокомпоненти на основі аеросилу SiO₂ і алюмоаеросилу Al₂O₃·SiO₂. Досліджувалися фізико-механічні характеристики самофлюсівних покріттів на основі системи ПГ-СР2, модифікованих нанодисперсними порошками TiO₂ і Al₂O₃ механохімічним способом, в умовах абразивного зношування. Представлені в роботі покриття багатофазної структури, завдяки наявності ультрадисперсних інгредієнтів, характеризуються підвищеними параметрами тріщиностійкості, міцності, пружності та зносостійкості. Встановлено, що додавання нанооксидів TiO₂ до порошку оксиду алюмінію приводить до підвищення міцності зчеплення керамічних покріттів на 15–20%. Додавання нанооксидів Al₂O₃ до порошку ПГ-СР2 призводить до збільшення мікротвердості плазмових покріттів на 25–40%, при цьому зносостійкість підвищується в 2,5–3 рази.

Ключові слова: плазмове покриття, багатофазна композиція, нанодисперсні складові, модуль пружності, міцність, руйнування, зносостійкість.

The physical-mechanical characteristics of multiphase plasma coatings based on compositions from mixtures that include ceramic-metal macropowders NiAl, NiCrBSi, Al₂O₃ and microcomponents based on aerosil SiO₂ and aluminae aerosil Al₂O₃·SiO₂ are considered in the paper. The physical-mechanical characteristics of self-fluxing coatings based on the PG-SR2 system, modified by nanodispersed TiO₂ and Al₂O₃ powders by a mechano-chemical method, are studied under abrasive wear. The presented coatings of a multiphase structure, due to the presence of ultrafine ingredients, are characterized by increased parameters of crack resistance, strength, elasticity, wear resistance. As found, the addition of TiO₂ nanooxide to alumina powder leads to an increase in the adhesion strength of ceramic coatings by 15–20%. The addition of Al₂O₃ nanooxide to the PG-SR2 powder leads to an increase in the microhardness of plasma coatings by 25–40%, while the wear resistance increases by 2.5–3 times.

Key words: plasma coating, multiphase composition, nanodispersed components, elastic modulus, strength, fracture, wear resistance.

(Получено 2 січня 2019 р.)

1. ВВЕДЕНИЕ

Применяемые в настоящее время технологии нанесения различного рода пленок и покрытий позволяют создавать на поверхности твердого тела слои определенных макро- и микроструктур, фазового и химического составов, обеспечивающие необходимые свойства композиционного материала в целом [1–3].

В области разработки функциональных покрытий широкое рас-

пространение получили методы газотермического (плазменного) напыления. При этом в качестве исходных материалов для покрытий применяют многокомпонентные смеси порошков, содержащих, в том числе, наноразмерные ингредиенты в виде оксидов, нитридов, карбидов, боридов и др. [3–8].

Напыление металлических, металлокерамических порошков, содержащих ультрадисперсные и наноразмерные составляющие, приводит к формированию многофазных покрытий с повышенным комплексом физико-механических характеристик системы «основа–покрытие», обеспечивающих повышение износостойкости, жаропрочности и жаростойкости. Важными являются вопросы, связанные с исследованиями взаимосвязи таких свойств композиционного материала, полученного в процессе плазменного напыления многофазного композиционного покрытия. В общем случае введение в матрицу покрытий нанодисперсных включений (фаз) и порошков позволяет значительно повысить их эксплуатационные характеристики.

Тем не менее, имеет место недостаточность и расходимость у разных исследователей полученных результатов, необходимых для формирования баз данных по свойствам таких покрытий, а также проведения расчетов и моделирования процессов их формирования [7–9]. Управление процессом газотермического напыления, а, следовательно, и создание покрытий с комплексом функциональных свойств системы «твердое тело–покрытие» являются актуальными задачами исследований в этой области.

2. ПОСТАНОВКА ПРОБЛЕМЫ И ЦЕЛЬ ИССЛЕДОВАНИЙ

В поликристаллических материалах одним из главных параметров структуры, контролирующих механические свойства, является размер зерна. Зависимость механических характеристик таких материалов от размера зерна D описывается соотношением Холла–Петча, и, согласно исследованиям, образцы с малым размером зерен (субзерен) имеют повышенные прочностные свойства. Для описания, например, напряжения текучести используются различные зависимости, характеризующиеся определенными параметрами и имеющие вид [10]:

$$\sigma_T = \sigma_{0\text{пп}} + k/\sqrt{D}, \quad \sigma_T = \sigma_{0\text{пп}} + \beta Gb/L, \quad \sigma_T = \sigma_{0\text{пп}} + \alpha Gb/\lambda, \quad (1)$$

где $\sigma_{0\text{пп}}$, k , α , β — постоянные величины для данного материала, G и b — соответственно модуль сдвига и вектор Бюргерса матрицы с размером зерна D , L — величина субзерен, расположенных внутри зерен, параметр дислокационной структуры, λ — параметры, характеризующие распределение частиц в матрице.

С другой стороны, упрочнению материала способствует также наличие в его объеме дисперсных частиц второй (упрочняющей) фазы. В этой связи, в двухфазных (многофазных) системах количество параметров структуры в уравнении (1) увеличивается.

Для плазменных покрытий наличие ультрадисперсной или наносоставляющей фазы способствует проявлению упрочняющего эффекта. Покрытия, сформированные в процессе плазменного напыления и/или модифицирования, являются многослойной композицией из хаотично распределенных и связанных между собой расплющенных частиц (сплотов, ламелей) с определенными прочностными и адгезионно-когезионными связями [5, 6, 11–13]. Микроструктура таких дисперсно-упрочненных композитов имеет вид микрограмм субмикрокристаллического типа с большой протяженностью границ зерен и субзерен, стабилизированных наноразмерными составляющими.

Таким образом, состав и микроструктура сформировавшегося газотермического покрытия определяют физико-механические характеристики системы «основа–покрытие», а также процесс ее разрушения под действием нагрузок. В этом случае механизм и характер разрушения обусловлен условиями зарождения и развития микротрещин, как по границам между зернами внутри самого покрытия, так и на границе покрытия с основой. При создании технологии напыления необходимо обеспечить условия для затормаживания разрушения и самого покрытия, и композиции в целом под действием приложенных нагрузок.

Среди физико-механических характеристик керамических плазменных покрытий особое место занимает их износостойкость. Процесс изнашивания зависит от сочетания физико-механических свойств элементов пары трения, характера и режимов исследования трения [1, 14, 15]. Широкое применение в жестких условиях эксплуатации находят покрытия–композиции на основе хромоникелевых порошков при введении в их состав различных добавок — ингредиентов в виде карбидов и оксидов [16–18]. Упрочняющие керамические фазы характеризуются высокими показателями твердости, упругости, температуры плавления, термической стабильности. Эти факторы способствуют повышению износостойкости снижению коэффициента трения в условиях сухого трения и при абразивном воздействии.

Перспективным и экономичным способом получения композиционного порошка для последующего формирования плазменных покрытий является диффузионное легирование и модифицирование исходного керамического порошка легирующими элементами (нанодисперсными частицами) с изменением фазового состава его поверхностных слоев [19–21].

Прогресс, достигнутый в области улучшения физико-механичес-

ких свойств защитных покрытий путем введения в его состав нано-составляющих, а также путем модификации порошковой смеси наноматериалами, свидетельствует об актуальности и перспективности данных исследований.

Целью работы явилось исследование влияния составляющих в виде ультрадисперсных фаз и порошков, модифицированных нанодобавками, на прочностные свойства системы «основа–покрытие», а также установление взаимосвязи количества нанокомпонентов в порошковой смеси с параметрами износстойкости плазменных покрытий.

3. МАТЕРИАЛЫ И МЕТОДЫ ИССЛЕДОВАНИЙ

3.1. Расчетно-экспериментальная методика

Наиболее распространенными исследуемыми характеристиками являются: прочность на отрыв и изгиб ($\sigma_{\text{в}}$, $\sigma_{\text{из}}$), модуль упругости покрытия ($E_{\text{п}}$), микротвердость (H_{μ}), трещиностойкость (K_{1C}), износстойкость.

Ряд используемых методик, анализ результатов исследований, а также решения для определения физико-механических характеристик при испытаниях образцов с покрытием на микроиндентирование, при одноосном растяжении, на 3-х и 4-х точечный изгиб представлены во множестве работ [22–26].

Механические свойства зависят от полученной слоистой структуры плазменных покрытий, характеризующейся определенными атомно-молекулярными связями между частицами в самом покрытии и в межфазной зоне [12]. При этом кинетика, транскристаллитное или межкристаллитное распространение трещины определяются соотношением первоначального диаметра и толщины расплющеных частиц, их площади фактического контакта с основой, связанным с этим изменением модуля упругости и микроструктурными параметрами в различных участках покрытия [12, 13, 27, 28].

На рисунке 1 изображены возможные варианты возникновения трещин в системе «основа–покрытие». На рисунке 2, *a* схематически представлен дискретный контакт частиц газотермического покрытия с основой, а на рис. 2, *б* представлена модель, применяемая для расчета адгезионных характеристик покрытия.

Рассматривается отрыв отдельного пятна фактического контакта радиусом a от поверхностных слоев основы. При этом радиус расплющенной частицы R определяется в зависимости от исходного диаметра (d) и скорости (V) частиц порошка в потоке.

На базе такой микроструктурной модели взаимодействия газотермического покрытия и поверхностных слоев основы по фактической площади контакта F_{Φ} рассчитана межфазная прочность (проч-

ность сцепления).

Плазменное напыление реализовывалось на промышленной установке УПНС-304 с модернизированным плазмотроном, обеспечивающим ламинарное истечение плазменного потока.

Физико-механические свойства, как самого покрытия, так и

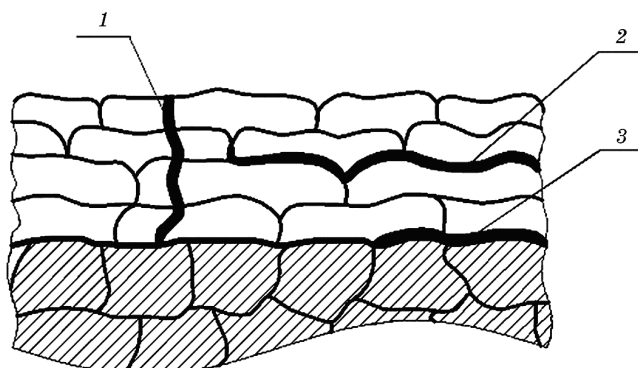


Рис. 1. Схематическое изображение фрагмента системы основа–покрытие для различных вариантов возникновения трещин: 1 — трансламеллярная трещина, 2 — межламеллярная трещина, 3 — трещина на границе раздела (межфазная трещина).

Fig. 1. Schematic representation of a fragment of the base-cover system for various crack initiation variants: 1—translamellar crack, 2—interlamellar crack, 3—crack at the interface (interfacial crack).

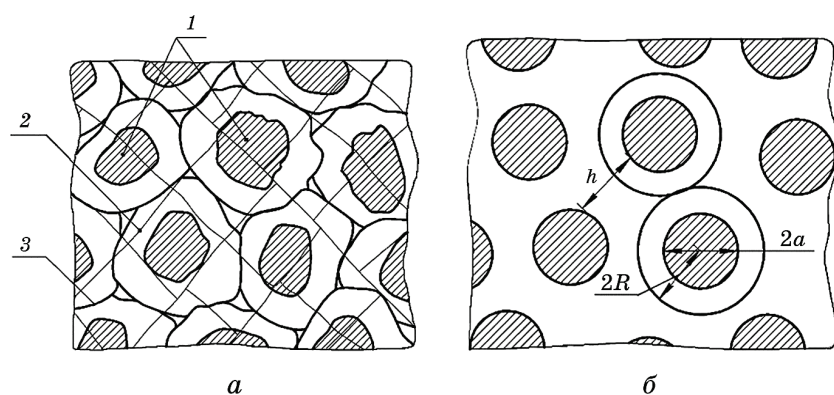


Рис. 2. Идеализированная модель взаимодействия расплющенных частиц в соответствующих участках покрытия: 1 — пятно контакта, 2 — вертикальные микротрещины, 3 — несцепленные участки.

Fig. 2. Idealized model of the interaction of flattened particles in the corresponding areas of the coating: 1—contact patch, 2—vertical microcracks, 3—unlinked areas.

композиции «основа–покрытие», определялись по результатам механических испытаний на изгиб на установке модели KOGEL (Германия), согласно разработанным расчетно-экспериментальным методикам [8, 29].

Испытания проводились на образцах размером $100 \times 10 \times 1$ с плазменными покрытиями толщиной 50–150 мкм, нанесёнными на одну сторону образца.

Микроструктуру и химический состав плазменных покрытий определяли с помощью сканирующего электронного микроскопа с энергодисперсионным микроанализатором РЕМ 106. Дифрактометрический анализ проводили с помощью рентгеновского дифрактометра Rigaku Ultima IV.

Микротвёрдость полученных покрытий определяли на микротвердомере ПМТ-З. Прочность сцепления покрытия с основой определяли с помощью испытаний на отрыв в соответствии со стандартом ASTM C 633.

Процесс изнашивания исследовали в условиях сухого трения на машине трения СМЦ-2 по схеме ролик (контртело — закаленная сталь У8)—плоский образец с покрытием при нагрузке 3 кг. Толщина плазменных покрытий в условиях этих экспериментов составляла 250–300 мкм.

3.2. Используемые материалы

Для исследований в качестве основы использовались армко-железо и малоуглеродистая сталь с плазменными покрытиями из порошковых материалов NiAl, NiCrBSi (ПГ-10Н-01, ПГ-СР2), Al₂O₃ и композиций из смесей, включающих микро-составляющие на основе аэросила — SiO₂ и алюмоаэросила — Al₂O₃·SiO₂ [5, 6, 8].

Также для плазменного напыления использовали модифицированные никель-хромовые порошки (системы Ni–Cr–B–Si) и порошок оксида алюминия с размерами частиц 40–63 мкм. В качестве модификатора использовали нанопорошки Al₂O₃ и TiO₂ соответственно с размером частиц 40–50 нм, которые вводили в количестве от 0,5 до 5,0% об. Приготовление гомогенной порошковой смеси из микро- и наночастиц проводили в планетарной шаровой мельнице XQM-2, где происходит формирование модифицированного порошка с необходимым гранулометрическим составом.

4. ПОЛУЧЕННЫЕ РЕЗУЛЬТАТЫ И ИХ ОБСУЖДЕНИЕ

4.1. Прочностные и упругие свойства

Наиболее продуктивными являются испытания на изгиб по расчет-

но-экспериментальной методике, в основе которой лежат положения классической теории прочности. Исследованиями процессов при испытаниях на изгиб представляется возможность определить упругие, деформационные, прочностные характеристики покрытий, в том числе и когезионную прочность [8, 29–31].

Так, решение для определения модуля упругости покрытия после соответствующих преобразований может быть представлено в виде:

$$E_{\text{пп}} = \frac{-A + \sqrt{A^2 + C}}{2R^3} E_{\text{c}}, \quad (2)$$

где $R = h/H$, $A = 4R^2 + 6R + 4 - F$, $C = 4R^2(F - 1)$, $F = (1 + R)^3 E_{\text{o}}/E_{\text{c}}$ — соотношение прогибов основы к прогибу композиции «основа—покрытие», E_{o} , $E_{\text{пп}}$, E_{c} — модули упругости основы, покрытия и композита «основа—покрытие», h , H — толщины покрытия и основы.

Значение прочности материалов с покрытиями при испытании на трёхточечный изгиб имеет вид:

$$\sigma_{\text{пп}} = \frac{P_{\text{p}} l}{4} \frac{(e - h)E_{\text{c}}}{J_{\text{o}} + J_{\text{пп}} E_{\text{пп}}}, \quad (3)$$

где P_{p} — нагрузка, которая вызывает либо растрескивание, либо отслоение покрытия, определяется по диаграмме, l — расстояние между опорами, J_{o} , $J_{\text{пп}}$ — моменты инерции основы и покрытия, e — расстояние нейтральной линии от поверхности основы.

Для конкретных условий испытаний получены значения критических напряжений, при которых покрытие, в одном случае, растрескивается (разрушается) или, в другом случае, отслаивается, что наблюдается для различных типов систем «основа—покрытие» [7, 8, 29].

Данные по прочности на изгиб и растяжение ($\sigma_{\text{из}}$, $\sigma_{\text{в}}$) для ряда систем «основа—покрытие» при соответствующих режимах напыления и обработки приведены в табл. 1.

В таблице 2 представлены усредненные данные для модуля упругости и когезионной прочности многофазных покрытий ($\sigma_{\text{ког}}$), полученные при испытаниях по различным расчетно-экспериментальным методикам — на изгиб, растяжение, индентирование, а также внутренне трение (ВТ) [7, 32]. Как видно, наблюдается большой разброс данных, полученных на основании различных методик и экспериментов.

4.2. Межфазное разрушение (отслоение покрытия от основы)

Межфазная зона дискретного контакта плазменного покрытия

ТАБЛИЦА 1. Физико-механические характеристики системы основа–плазменное покрытие.**TABLE 1.** Physical-mechanical characteristics of system base–plasma coating.

Композиция	Режим обработки	$\sigma_{\text{из}}$, МПа	σ_b , МПа
AlNi–(Al ₂ O ₃ ·SiO ₂)	н	363	524
(ПГ-10Н-01)–(Al ₂ O ₃ ·SiO ₂)	н	315	477
	о	330	510
Ni–Cr–B–Si	н	413	480
AlNi	н	412	500

ТАБЛИЦА 2. Значения параметров упругости (E) и прочности ($\sigma_{\text{кор}}$) плазменных покрытий.**TABLE 2.** Values of elasticity (E) and strength ($\sigma_{\text{кор}}$) parameters of plasma coatings.

Покрытие	E , ГПа	$\sigma_{\text{кор}}$, МПа
NiAl	80–130	236–284
ПГ-10Н-01 (NiCrBSi)	55–120	82–154
AlNi–(Al ₂ O ₃ ·SiO ₂)	119–157	374–438
ПГ-10Н-01–(Al ₂ O ₃ ·SiO ₂)	86–193	472–536

(расплюснутые частицы, ламели) и поверхности твердого тела может быть представлена моделью материала, ослабленного трещинами в его объеме (рис. 2, б) [12, 28, 29]. Нагрузка, необходимая для разрушения отдельного пятна контакта при испытании на разрыв в зависимости от коэффициента трещиностойкости и геометрических параметров площади контакта, согласно рис. 2, б, оценивается выражением [12]:

$$p' = 2a\sqrt{2a}K_{1C}\left[1 - 1,36(a/h)^2\right], \quad (4)$$

где h — расстояние между пятнами контакта радиуса a .

В случае отслоения покрытия, выражение для коэффициента трещиностойкости K_{1C} в уравнение (4) с учетом того, что рассматривается межфазная трещина, может быть записано виде:

$$K_{1C} = \left[\bar{F}_\Phi^2 \frac{\sigma_b^{\text{очн}} d(1 - v^2)}{8\pi} \sigma_\pi \right]^{1/2}, \quad (5)$$

ТАБЛИЦА 3. Расчетные параметры трещиностойкости системы основа–покрытие.

TABLE 3. Calculated parameters of crack resistance of the base–coating system.

Состав покрытия	Суммарное для системы	Для покрытия (растрескивание)	Для межфазной зоны
	K_{1C} , МПа/м ²	K_{1C}^n , МПа/м ²	K_{1C}^{mf} , МПа/м ²
NiAl–Al ₂ O ₃	1,84	1,80	0,47
NiAl	6,44	6,04	2,74
NiAl–(Al ₂ O ₃ ·SiO ₂)	12,42	11,1	6,83
NiCr–(Al ₂ O ₃ ·SiO ₂)	18,93	16,24	11,93

где $d = 2a$, σ_b^{och} , σ_n — напряжения в поверхностных слоях основы и в покрытии, F_ϕ — относительная площадь физического контакта (относительная прочность сцепления) между частицами и основой.

Значения коэффициентов интенсивности напряжений K_{1C} , необходимые для расчетов и анализа расслоения или растескивания покрытия, приведены в табл. 3.

На рисунке 3 представлена зависимость нагрузки p' , согласно уравнению (4), необходимой для разрушения единичного пятна контакта частицы радиусом R_q с поверхностью основы от диаметра этого пятна $d_k \approx 2R_q F_\phi$.

Представленные данные свидетельствуют о роли состава покрытий и технологии их нанесения в упрочняющем эффекте на основ-

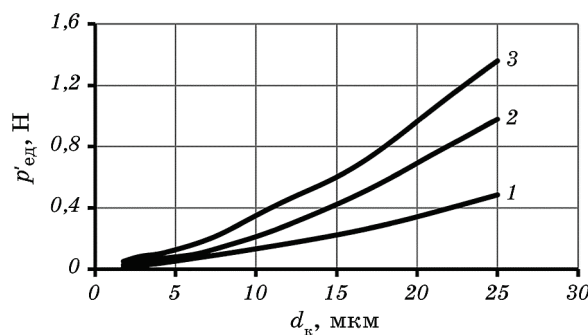


Рис. 3. Зависимость усилия, необходимого для разрушения единичного пятна контакта, от площади этого пятна (d_k) для ряда покрытий: 1 — NiAl, 2 — NiAl–(Al₂O₃·SiO₂), 3 — NiCr–(Al₂O₃·SiO₂).

Fig. 3. Dependence of the force required to destroy a single contact spot on the area of this contact (d_k) for a number of coatings: 1—NiAl, 2—NiAl–(Al₂O₃·SiO₂), 3—NiCr–(Al₂O₃·SiO₂).

ной материал. На величину когезионной прочности покрытий, а также величину адгезионного взаимодействия покрытия с основой, оказывают влияние такие факторы, как соотношение модулей упругости основного материала и второй фазы, границы между фазами.

4.3. Износостойкость плазменных покрытий

Значительное количество работ по исследованию защитных свойств газотермических покрытий посвящено плазменным покрытиям на основе самофлюсующихся модифицированных порошков [33, 34]. Исследовались механические характеристики самофлюсующихся покрытий системы Ni–Cr–B–Si (ПГ-СР2), модифицированных нанодисперсными порошками TiO_2 и Al_2O_3 , в условиях абразивного изнашивания. Параллельно для создания однородной структуры и повышения прочности сцепления образцы с напыленными покрытиями на основе порошка ПГ-СР2 подвергали оплавлению в муфельной печи при температуре $(1050 \pm 20)^\circ\text{C}$ в течение 5 мин. Микроструктура и химический состав полученных плазменных покрытий приведены на рис. 4 и в табл. 4.

Анализ микроструктуры, приведенной на рисунке 4, свидетельствует об изменениях, происходящих в покрытии из оксида алюминия и ПГ-СР2 в результате модификацииnanoоксидами TiO_2 и Al_2O_3 соответственно. Так, при модификации нанопорошком TiO_2 в

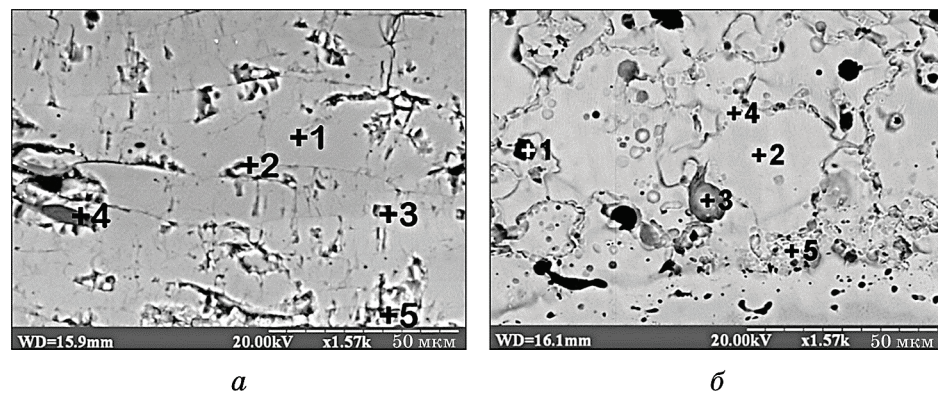


Рис. 4. Микроструктура плазменных покрытий из порошка оксида алюминия, модифицированного nanoоксидом TiO_2 в количестве 1,5% об., (а) и порошка ПГ-СР2 (системы Ni–Cr–B–Si), модифицированного nanoоксидом Al_2O_3 в количестве 0,2% об., (б) после оплавления.

Fig. 4. Microstructure of plasma coatings of aluminium oxide powder modified with 1.5% vol. TiO_2 nanooxide (a) and powder ПГ-СР2 (system Ni–Cr–B–Si) modified with 0.2% vol. Al_2O_3 nanooxide (b) after melting.

ТАБЛИЦА 4. Химический состав плазменного покрытия из модифицированных нанооксидами порошков.

TABLE 4. Chemical composition of the plasma coating from powders modified with nanooxides.

Покрытие	$\text{Al}_2\text{O}_3 + 1,5\% \text{ TiO}_2$				ПГ-СР2 + 0,2% Al_2O_3				
	Элементы, %	Al	Fe	Ti	Ca	Ni	Cr	Fe	Si
1	93,78	4,73	—	—	33,64	6,59	5,01	13,46	41,29
2	75,13	12,06	3,28	—	84,3	9,2	5,63	0,88	—
3	93,35	8,37	5,96	1,85	89,25	4,42	4,57	1,76	—
4	82,05	7,65	7,52	2,78	76,61	10,8	11,33	0,77	0,49
5	91,51	8,49	1,49	—	84,75	8,7	5,45	1,04	0,06

количестве до 1,5% об. наблюдается уменьшение пористости и сетки микротрещин. Увеличение добавки нанокомпонентов свыше 1,5% об. в обоих покрытиях приводит к отслаиванию или растрескиванию в результате увеличения остаточных напряжений.

Данные химического анализа показывают наличие титана и алюминия в покрытиях при напылении порошковых смесей (табл. 4). Распределение элементов в структуре неравномерное, алюми-

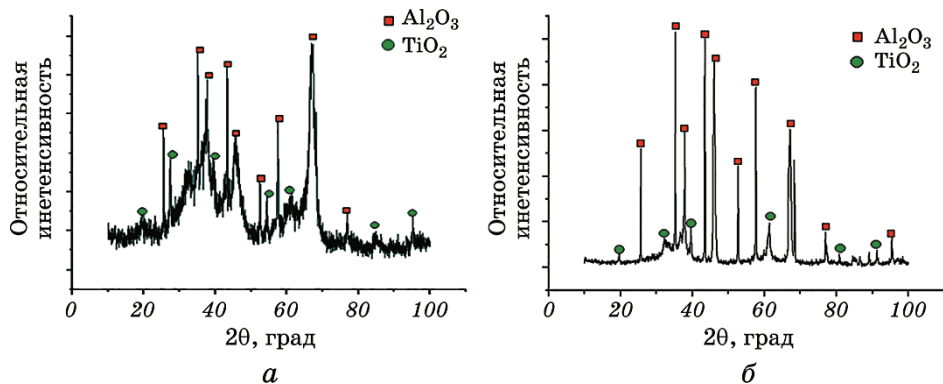


Рис. 5. Дифрактометрический анализ исходной порошковой смеси (а) и плазменного покрытия (б) из оксида алюминия с добавкой нанопорошка TiO_2 .

Fig. 5. Diffractometric analysis of the initial powder mixture (a) and the plasma coating (b) from aluminium oxide with the addition of TiO_2 nanopowder.

ний, в основном сосредоточен в наплавленных участках покрытия (спектр в точке 1 на рис. 4, б), количество титана на некоторых участках достигает 7%. Как правило, это наблюдается в местах неплощностей покрытия и на границах ламелей. Это косвенно может подтверждать, что наночастицы оксида титана и алюминия при напылении переносятся в покрытие.

Дополнительным доказательством присутствия наночастиц TiO_2 в покрытии являются дифрактограммы исходной порошковой смеси и плазменных покрытий, приведенные на рис. 5.

При сравнении значений микротвердости покрытий выявлено, что с увеличением количества добавки нанодисперсного порошка TiO_2 до 1,5% об. происходит увеличение микротвердости до 8,2 ГПа (рис. 6, а). Дальнейшее увеличение количества введенного нанооксида TiO_2 не приводило к повышению микротвердости покрытия.

Согласно полученным результатам прочность сцепления для покрытий на основе чистого оксида алюминия составляет 16 МПа. При введении нанооксида TiO_2 в количестве 1,5% об. происходит увеличение прочности до 20 МПа, что коррелирует с опубликованными данными для подобных плазменных керамических покрытий [35, 36].

При введении в порошок на основе ПГ-СР2 нанооксида Al_2O_3 наблюдается незначительная зависимость микротвердости напыленных покрытий от увеличения концентрации наноразмерных частиц. Максимальное значение микротвердости установлено при добавлении 0,2% об. нанопорошка Al_2O_3 и составляет 4,8 ГПа (рис. 6, б).

Результаты исследований на износостойкость плазменного покрытия на основе самофлюсующегося порошка системы Ni–Cr–B–

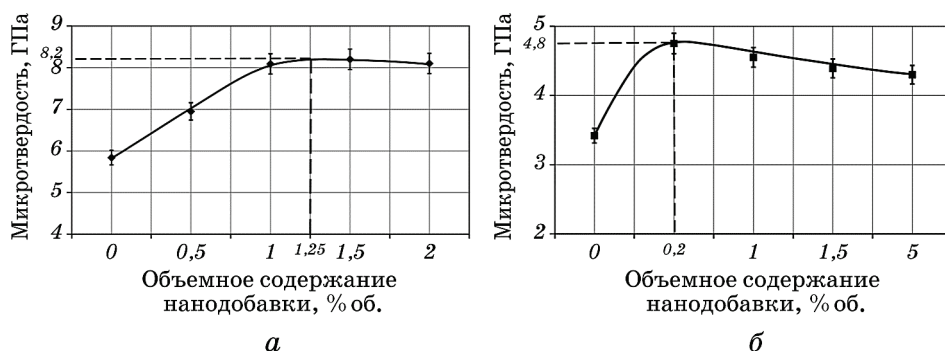


Рис. 6. Изменение микротвердости плазменного покрытия на основе ПГ-СР2 в зависимости от количества введенных в смесь нанооксида TiO_2 (а) и нанооксида Al_2O_3 (б).

Fig. 6. Change in the microhardness of the plasma coating based on PG-SR2 depending on the amounts of TiO_2 nanooxide (а) and Al_2O_3 nanooxide (б) introduced into the mixture.

Si приведены на рис. 7.

Данные по кинетике износа свидетельствуют об увеличении износостойкости покрытий с увеличением концентрации нанодисперсного порошка Al_2O_3 . Диапазон оптимальных значений содержания нанопорошка Al_2O_3 находится в пределах 0,2–1,0% об. Во многих случаях четко наблюдается корреляция между микротвердостью и износостойкостью напыленных покрытий. В целом результаты износостойкости покрытий при добавлении нанодисперсных примесей достигают уровня широко известного порошка ПС-12НВК-01.

Полученные зависимости позволили не только оценить кинетику изнашивания покрытий из самофлюсующегося порошка, но и уровень их износостойкости в целом. Этими данными было подтверждено, что при напылении, так же как и при наплавлении и сварке, введение нанодисперсных компонентов в определенном соотношении влияет на свойства литого металла и поверхности образцов. Особое состояние нанодисперсных порошков проявляется за счет их высокой дисперсности (5–41 нм), наличия на поверхности частиц развитых, свободных связей, которые активируются при высоких температурах в условиях плазменного напыления. Как следствие, увеличивается поверхностная энергия. Возможна реализация механизмов модифицирования 1-го и 2-го рода, химического взаимодействия между компонентами и дисперсионного упрочнения покрытия. Таким образом, подтверждено позитивное влияние нанодисперсных порошков TiO_2 и Al_2O_3 на износостойкость самофлюсующихся покрытий системы Ni–Cr–B–Si в условиях абразивного изнашивания.

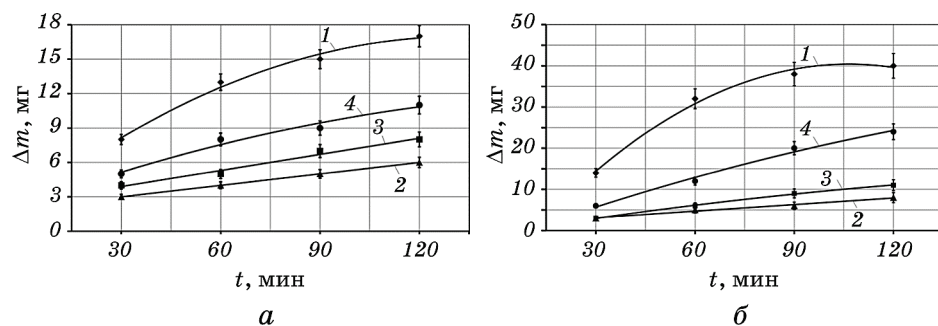


Рис. 7. Кинетика износа неоплавленных (*а*) и оплавленных (*б*) плазменных покрытий на основе ПГ-СР2: 1 — без нанопорошка, 2 — введение 0,2% Al_2O_3 , 3 — введение 1% Al_2O_3 , 4 — введение 5% Al_2O_3 .

Fig. 7. Wear kinetics of unmelted (*a*) and melted (*b*) plasma coatings based on PG-SR2: 1—without nanopowder, 2—with introduction of 0.2% Al_2O_3 , 3—with introduction of 1% Al_2O_3 , 4—with introduction of 5% Al_2O_3 .

5. ВЫВОДЫ

С использованием расчетно-экспериментальных методов проведен анализ влияния присутствия нанофаз на физико-механические характеристики плазменных покрытий сложной структуры.

Представленные в работе покрытия многофазной структуры с наличием ультрадисперсной составляющей на основе смеси ($\text{Al}_2\text{O}_3\text{-SiO}_2$) в сравнении с традиционными покрытиями имеют высокие параметры упругости, а также более высокие (приблизительно в 2 раза) показатели трещиностойкости как межфазной зоны, так и покрытия.

Проведенный расчет и анализ механических испытаний образцов с плазменными покрытиями установил взаимосвязь между вязкостью разрушения самого покрытия, а также межфазной зоны с некоторыми микроструктурными и технологическими параметрами напыления. Наличие наносоставляющих в многофазном покрытии способствует формированию прочных когезионных и адгезионных связей внутри покрытия и по межфазной зоне.

В результате проведенных исследований установлено влияние добавок нанопорошка TiO_2 на микроструктуру плазменного покрытия из оксида алюминия. В модифицированном покрытии наблюдается снижение процесса трещинообразования и уменьшение пористости. Введение нанопорошка TiO_2 в состав порошка оксида алюминия на уровне 1,5% об. способствует увеличению прочности сцепления покрытия на 15–20%, а микротвердости — на 25–30%. Рациональное количество нанооксида Al_2O_3 , введенного в состав порошка марки ПГ-СР2, составляет 0,2% об. Модификация приводит к увеличению микротвердости плазменных покрытий на 25–40%, при этом износстойкость повышается в 2,5–3 раза.

Анализ полученных результатов позволяет сделать вывод о перспективности дальнейших исследований в области защитных плазменных никель-хромовых и оксидно-керамических покрытий при введении в их состав нанодисперсных ингредиентов.

ЦИТИРОВАННАЯ ЛИТЕРАТУРА

1. П. А. Витязь, А. Ф. Ильюшенко, А. И. Шевцов, *Основы нанесения износостойких, коррозионно-стойких и теплозащитных покрытий* (Минск: Белорусская наука: 2006).
2. М. Хокинг, В. Васантасри, П. Сидки, *Металлические и керамические покрытия* (Москва: Мир: 2000).
3. Ф. И. Пантелеенко, Ф. Г. Ловщенко, А. В. Рогачев, Н. А. Руденская, В. А. Струк, *Материалы, технологии и оборудование для упрочнения и восстановления деталей машин* (Минск: УП «Технопринт»: 2003), с. 14.
4. P. G. Thiema, A. Chornyi, I. V. Smirnov, and M. Krüger, *Surface and Coatings*

- Technology*, **324**: 498 (2017).
5. В. И. Копылов, И. А. Варвус, Б. Г. Стронгин, *Фізико-хімічна механіка матеріалів*, **1**: 65 (1991).
 6. В. И. Копылов, Ю. В. Колесников, И. В. Говоров, И. В. Гурей, Л. А. Пархоменко, *Фізико-хімічна механіка матеріалів*, **4**: 100 (1991).
 7. V. I. Kopylov, *Eastern-Eurohean Journal of Enterprise Technologies*, **5**, No. 5 (83): 49 (2016).
 8. В. И. Копылов, Д. А. Антоненко, *Проблемы техники*, **2**: 72 (2014).
 9. В. А. Барвинок, В. И. Богданович, *Журнал технической физики*, **82**, № 2: 105 (2012).
 10. Б. А. Мовчан, *Автоматическая сварка*, **11**: 166 (2008).
 11. В. И. Копылов, *Проблемы прочности*, **1**: 68 (1999).
 12. В. И. Копылов, Д. А. Антоненко, *Проблемы техники*, **4**: 145 (2013).
 13. Chang-Jiu Li, Wei-Ze Wang, and Yong He, *J. Thermal Spray Technology*, **13**, No. 3: 425 (2005).
 14. И. В. Крагельский, М. Н. Добычин, В. С. Комбалов, *Основы расчетов на трение и износ* (Москва: Машиностроение: 1977).
 15. Б. М. Силаев, *Трибология деталей машин в маловязких смазочных средах* (Самара: Самарский государственный аэрокосмический университет: 2008).
 16. Ch. Guo, J. Zhou, and J. Chen, *Wear*, **270**, Iss. 7–8: 492 (2011).
 17. М. С. Гибзун, А. В. Макаров, Н. Н. Соболева, И. Ю. Малыгина, *Master's Journal*, № 1: 11 (2017).
 18. Y. Lei, R. Sun, Y. Tang, and W. Niu, *Optics and Laser Technology*, **44**: 1141 (2012).
 19. A. Gyral, K. Berent, M. Nowak, and B. Kania, *Arch. Metall. Mater.*, **61**, No. 1: 55 (2016).
 20. L. Du, B. Xu, S. Dong, H. Yang, and Y. Wu, *Surface and Coatings Technology*, **192**, Iss. 2–3: 311 (2005).
 21. F. Erler, C. Jakob, H. Romanus, L. Spiess, B. Wielage, T. Lampke, and S. Steinha, *Electrochimica Acta*, **48**, Iss. 20–22: 3063 (2003).
 22. W. Tillmann and J. Nebel, *J. Thermal Spray Technology*, **20**, Iss. 1–2: 317 (2011).
 23. H. Li, K. A. Khor, and P. Cheang, *Surface and Coatings Technology*, **155**, Iss. 1: 21 (2002).
 24. H. P. Brantner, R. Pippan, and W. Prantl, *J. Thermal Spray Technology*, **12**, Iss. 4: 560 (2003).
 25. Ю. И. Головин, *Физика твёрдого тела*, **50**, № 12: 2113 (2008).
 26. А. Н. Долгов, *Порошковая металлургия*, **7–8**: 110 (2004).
 27. В. И. Копылов, И. В. Смирнов, Н. А. Долгов, *Проблемы техники*, **4**: 3 (2004).
 28. В. И. Копылов, И. В. Смирнов, Н. А. Долгов, *Вибрация в технике и технологиях*, **5** (37): 90 (2004).
 29. М. А. Долгов, И. В. Чихира, П. Д. Стухляк, И. Б. Букетов, *Нафтова і газова промисловість*, **6**: 41 (2010).
 30. Y. Yamazaki, A. Schmidt, and A. Scholz, *Surface Coating Technology*, **201**, Iss. 3–4: 744 (2006).
 31. Y. W. Bao, Y. C. Zhou, X. X. Bu, and Y. Qiu, *Materials Science and Engineering*, **458**, Iss. 1–2: 268 (2007).
 32. В. И. Копылов, С. Л. Рево, И. В. Смирнов, Е. А. Иваненко, Ф. В. Лозовый,

- Д. А. Антоненко, *Наносистеми, наноматеріали, нанотехнології*, 8, № 1: 209 (2010).
33. В. И. Кузьмин, С. П. Ващенко, И. П. Гуляев, Е. В. Картаев, Д. В. Сергачёв, Е. Е. Корниенко, А. В. Долматов, *Вестник Югорского государственного университета*, 2, № 37: 45 (2015).
 34. О. П. Уманський, О. Є. Терентьев, М. С. Стороженко, *Міжвузівський збірник «Наукові нотатки» Луцького національного технічного університету*, 41, частина 2: 213 (2013).
 35. Y. Li and K. A. Khor, *Surface and Coatings Technology*, 150, Iss. 2–3: 143 (2002).
 36. R. Musalek, J. Matejicek, M. Vilemova, and O. Kovarik, *Non-Linear Mechanical Journal of Thermal Spray Technology*, 19, Iss. 1–2: 422 (2010).

REFERENCES

1. P. A. Vityaz, A. F. Ilyushenko, and A. I. Shevtsov, *Osnovy Naneseniya Iznosostoykikh, Korrozionno-Stoykikh i Teplozashchitnykh Pokrytiy* [Fundamentals of Applying Wear-Resistant, Corrosion-Resistant and Thermal Barrier Coatings] (Minsk: Belorusskaya nauka: 2006) (in Russian).
2. M. Khoking, V. Vasantasri, and P. Sidki, *Metallicheskie i Keramicheskie Pokrytiya* [Metal and Ceramic Coatings] (Moscow: Mir: 2000) (in Russian).
3. F. I. Pantaleenko, F. G. Lovshenko, A. V. Rogachev, N. A. Rudenskaya, and V. A. Struk, *Materialy, Tekhnologii i Oborudovanie dlya Uprochneniya i Vosstanovleniya Detalej Mashin* [Materials, Technologies and Equipment for Hardening and Reconstruction of Machine Parts] (Minsk: UP ‘Tekhnoprint’: 2003), p. 14 (in Russian).
4. P. G. Thiema, A. Chornyi, I. V. Smirnov, and M. Krügera, *Surface and Coatings Technology*, 324: 498 (2017).
5. V. I. Kopylov, I. A. Varvus, and B. G. Strongin, *Physicochemical Mechanics of Materials*, 1: 65 (1991) (in Russian).
6. V. I. Kopylov, Yu. V. Kolesnikov, I. V. Govorov, I. V. Gurey, and L. A. Parkhomenko, *Physicochemical Mechanics of Materials*, 4: 100 (1991) (in Russian).
7. V. I. Kopylov, *Eastern-European Journal of Enterprise Technologies*, 5, No. 5 (83): 49 (2016).
8. V. I. Kopylov and D. A. Antonenko, *Problemy Tekhniki*, 2: 72 (2014) (in Russian).
9. V. A. Barvinok and V. I. Bogdanovich, *Zhurnal Tekhnicheskoy Fiziki*, 82, No. 2: 105 (2012) (in Russian).
10. B. A. Movchan, *Avtomatische Svarka*, 11: 166 (2008) (in Russian).
11. V. I. Kopylov, *Problemy Prochnosti*, 1: 68 (1999) (in Russian).
12. V. I. Kopylov and D. A. Antonenko, *Problemy Tekhniki*, 4: 145 (2013) (in Russian).
13. Chang-Jiu Li, Wei-Ze Wang, and Yong He, *J. Thermal Spray Technology*, 13, No. 3: 425 (2005).
14. I. V. Kragel'skiy, M. N. Dobychin, and V. S. Kombalov, *Osnovy Raschetov na Trenie i Iznos* [Basics of Friction and Wear Calculations] (Moscow: Mashinostroenie: 1977) (in Russian).

15. B. M. Silaev, *Tribologiya Detaley Mashin v Malovyazkikh Smazochnykh Sredakh* [Tribology of Machine Parts in Low-Viscosity Lubricants] (Samara: Samarskiy Gosudarstvennyy Aerokosmicheskiy Universitet: 2008) (in Russian).
16. Ch. Guo, J. Zhou, and J. Chen, *Wear*, **270**, Iss. 7–8: 492 (2011).
17. M. S. Gibzun, A. V. Makarov, N. N. Soboleva, and I. Yu. Malygina, *Master's Journal*, No. 1: 11 (2017) (in Russian).
18. Y. Lei, R. Sun, Y. Tang, and W. Niu, *Optics and Laser Technology*, **44**: 1141 (2012).
19. A. Gyral, K. Berent, M. Nowak, and B. Kania, *Arch. Metall. Mater.*, **61**, No. 1: 55 (2016).
20. L. Du, B. Xu, S. Dong, H. Yang, and Y. Wu, *Surface and Coatings Technology*, **192**, Iss. 2–3: 311 (2005).
21. F. Erler, C. Jakob, H. Romanus, L. Spiess, B. Wielage, T. Lampke, and S. Steinha, *Electrochimica Acta*, **48**, Iss. 20–22: 3063 (2003).
22. W. Tillmann and J. Nebel, *J. Thermal Spray Technology*, **20**, Iss. 1–2: 317 (2011).
23. H. Li, K. A. Khor, and P. Cheang, *Surface and Coatings Technology*, **155**, Iss. 1: 21 (2002).
24. H. P. Brantner, R. Pippan, and W. Prantl, *J. Thermal Spray Technology*, **12**, Iss. 4: 560 (2003).
25. Yu. I. Golovin, *Fizika Tverdogo Tela*, **50**, No. 12: 2113 (2008) (in Russian).
26. A. N. Dolgov, *Poroshkovaya Metallurgiya*, **7–8**: 110 (2004) (in Russian).
27. V. I. Kopylov, I. V. Smirnov, and N. A. Dolgov, *Problemy Tekhniki*, **4**: 3 (2004) (in Russian).
28. V. I. Kopylov, I. V. Smirnov, and N. A. Dolgov, *Vibratsiya v Tekhnike i Tekhnologiyakh*, **5** (37): 90 (2004) (in Russian).
29. M. A. Dolgov, I. V. Chykhira, P. D. Stukhlyak, and I. B. Buketov, *Naftova i Hazova Promyslovist*, **6**: 41 (2010) (in Ukrainian).
30. Y. Yamazaki, A. Schmidt, and A. Scholz, *Surface Coating Technology*, **201**, Iss. 3–4: 744 (2006).
31. Y. W. Bao, Y. C. Zhou, X. X. Bu, and Y. Qiu, *Materials Science and Engineering*, **458**, Iss. 1–2: 268 (2007).
32. V. I. Kopylov, S. L. Revo, I. V. Smirnov, E. A. Ivanenko, F. V. Lozovyy, and D. A. Antonenko, *Nanosistemi, Nanomateriali, Nanotehnologii*, **8**, No. 1: 209 (2010) (in Russian).
33. V. I. Kuz'min, S. P. Vashchenko, I. P. Gulyaev, E. V. Kartaev, D. V. Sergachev, E. E. Kornienko, and A. V. Dolmatov, *Vestnik Yugorskogo Gosudarstvennogo Universiteta*, **2**, No. 37: 45 (2015) (in Russian).
34. O. P. Umans'kyy, O. Ye. Terent'yev, and M. S. Storozhenko, *Mizhvuzivky Zbirnyk 'Naukovi Notatky' Lutskoho Natsionalnoho Tekhnichnoho Universytetu*, **41**, Part 2: 213 (2013) (in Ukrainian).
35. Y. Li and K. A. Khor, *Surface and Coatings Technology*, **150**, Iss. 2–3: 143 (2002).
36. R. Musalek, J. Matejicek, M. Vilemova, and O. Kovarik, *Non-Linear Mechanical Journal of Thermal Spray Technology*, **19**, Iss. 1–2: 422 (2010).